

# 三阶 Bézier 曲线的三类节点缩减算子

曹 铮 张克君

(北京大学计算机科学技术研究所文字信息处理技术国家重点实验室 北京 100871)

**摘要** 研究曲线拟合和编辑中的分段 Bézier 曲线的简化问题。定义了 3 类 Bézier 曲线的节点缩减算子以及基于其上的算法。实现了分段曲线的最简 Bézier 表示，并给出严格的数学证明。上述方法已被应用到所开发的软件中。

**关键词** Bézier 曲线，曲线延展，节点，缩减算子，最简 Bézier 表示。

**中图法分类号** TP391

随着计算机辅助图形设计的迅速发展，人们经常需要将大量的图像数据转化为图形数据，以便于修改与操作。字模图像经扫描后转成 TrueType 字形，广告设计中草稿的图形化处理等就是应用的实例。图形化处理中最关键的技术就是曲线追踪与最佳拟合。就面向出版方面的应用来说，由于目前国际出版界的标准 PostScript 支持三次 Bézier 曲线，经常需要利用三次 Bézier 曲线来拟合所获得的图像数据，因此，怎样用尽量少的点尽量精确地拟合就成了核心问题。在一般的图形设计与编辑中，也大多利用三次 Bézier 曲线来表示，如果所用的 Bézier 曲线有太多的控制点，将会有极大的不便。本文给出了 3 类 Bézier 曲线节点缩减算子，高效地实现了 Bézier 曲线的简化。在方正底纹辅助设计系统中，我们应用了这些技术，取得了比国外同类软件更好的效果。

## 1 一些概念与记号

我们将要研究的是平面上的三次 Bézier 曲线段（对于更高次的 Bézier 曲线，可将其转化为三次 Bézier 曲线段<sup>[1]</sup>）。关于 Bézier 曲线的一般性质可参阅文献[2,3]。它可以用 4 个点加以表示。我们以  $p_0, p_1, p_2, p_3$  来标记，其中  $p_0$  为起始点， $p_3$  为终止点， $p_1, p_2$  为控制点， $p_0, p_3$  又称为节点。它的参数方程为

$$C(t) = (1-t)^3 \cdot p_0 + 3(1-t)^2 \cdot t \cdot p_1 + 3(1-t) \cdot t^2 \cdot p_2 + t^3 \cdot p_3 \quad (0 \leq t \leq 1),$$

从而集合  $B_1 = \{b = (p_0, p_1, p_2, p_3) \mid p_0, p_1, p_2, p_3 \in R^2\}$  表示了平面上所有的三次 Bézier 曲线段。

为了方便论述，在本文的某些地方采用了 C 语言的记号“.”来表示 Bézier 曲线段中的节点。例如，如果  $b$  为 Bézier 曲线段，即  $b \in B_1$ ，则  $b.p_0$  表示  $b$  的初始点， $b.p_1$  表示  $b$  的第 1 个控制点，其余类推。另外，对于 Bézier 曲线段  $b(p_0, p_1, p_2, p_3)$ ，在不引起歧义的情况下，为简单起见，用  $\overline{p_0p_3}$  来表示；在可能引起歧义的情况下，用  $\overline{p_0p_1p_2p_3}$  来表示。

集合  $B_k = \{b^k = (b_1, b_2, \dots, b_k) \mid b_i \in B_1 (i=0, \dots, k) \text{ 且 } b_i.p_3 = b_{i+1}.p_0 (i=0, \dots, k-1)\}$  称为  $k$  段连续 Bézier 曲线。 $B = \bigcup_{k=1}^{\infty} B_k$  为平面上所有分段 Bézier 曲线的集合，本文的论述都排除 Bézier 曲线的退化情形，即 4 个控制节点共线的情况。

### 定义 1.1. Bézier 曲线段的延展

如果  $b_1, b_2 \in B_1$ ，且  $b_1$  为  $b_2$  的一部分，则称  $b_2$  为  $b_1$  的延展。如果还满足

(1)  $b_1.p_0 = b_2.p_0$ ，即  $b_1, b_2$  有共同的始点，则称  $b_2$  为  $b_1$  的正向延展。

\* 作者曹峰，1971 年生，博士，主要研究领域为彩色系统图形图像处理。张克君，1971 年生，博士生，主要研究领域为多媒体系统。

本文通讯联系人：曹峰，北京 100871，北京大学计算机科学技术研究所

本文 1997-10-16 收到原稿，1998-03-03 收到修改稿

(2)  $b_1, p_3 = b_2, p_3$ , 即  $b_1, b_2$  有共同的终点, 则称  $b_2$  为  $b_1$  的负向延展.

## 2 数学基础

### 定理 2.1. 延展基本定理

若  $b_1, b_2 \in B_1$ , 则  $b_2$  为  $b_1$  的正向延展的充分必要条件为: 存在  $k \in (0, 1]$ , 使得(这里, 我们记  $b_1 = (p_0, p_1, p_2, p_3)$ ,  $b_2 = (p'_0, p'_1, p'_2, p'_3)$ ).

$$(1) p'_0 = p_0;$$

$$(2) -p'_0 + p'_1 = \frac{1}{k}(-p_0 + p_1);$$

$$(3) p'_0 - 2p'_1 + p'_2 = \frac{1}{k^2}(p_0 - 2p_1 + p_2);$$

$$(4) -p'_0 + 3p'_1 - 3p'_2 + p'_3 = \frac{1}{k^3}(-p_0 + 3p_1 - 3p_2 + p_3).$$

证明: (1) 充分条件. 如果  $b_1, b_2$  的控制节点满足上述 4 个条件, 则对于  $b_1$  上的每一个点  $t=t_0$ ,

$$C_{b_1}(t_0) = (1-t_0)^3 \cdot p_0 + 3(1-t_0)^2 \cdot t_0 \cdot p_1 + 3(1-t_0) \cdot t_0^2 \cdot p_2 + t_0^3 \cdot p_3,$$

我们均能找到  $b_2$  上的点, 参数  $t=kt_0$  与之对应.

$$C_{b_2}(kt_0) = (1-kt_0)^3 \cdot p'_0 + 3(1-kt_0)^2 \cdot kt_0 \cdot p'_1 + 3(1-kt_0) \cdot k^2 t_0^2 \cdot p'_2 + k^3 t_0^3 \cdot p'_3.$$

容易验证,  $C_{b_2}(kt_0) = C_{b_1}(t_0)$ , 故 Bézier 曲线段  $b_1$  为  $b_2$  的一部分, 且条件 1 满足, 故  $b_2$  为  $b_1$  的正向延展.

(2) 必要条件. 按照定义, 如果  $b_2$  为  $b_1$  的正向延展, 即为曲线段的一部分. 设  $b_1$  的终止点  $p_3$  在 Bézier 曲线段  $b_2$  上的参数为  $k$ , 则可得  $b_1$  的参数方程为

$$\begin{aligned} C_{b_1} &= (1-kt)^3 \cdot p'_0 + 3(1-kt)^2 \cdot kt \cdot p'_1 + 3(1-kt) \cdot k^2 t^2 \cdot p'_2 + k^3 t^3 \cdot p'_3. \\ &= (1-t)^3 p_0 + 3(1-t)^2 t p_1 + 3(1-t) \cdot t^2 p_2 + t^3 p_3. \end{aligned}$$

比较  $t, t^2, t^3$  的系数和常数即可知条件(1)~(4)成立. □

**定义 2.1.** 如果  $b_2$  为  $b_1$  的正向延展, 且定理 2.1 中的  $k$  值为  $t_0$ , 则称  $b_2$  为  $b_1$  的  $t_0$  正向延展.

为了表述方便, 我们定义从 Bézier 曲线段  $B_1$  到平面的 4 个算子  $D_0, D_1, D_2, D_3$ , 设  $b(p_0, p_1, p_2, p_3) \in B_1$ , 如果定义

$$D_0(b) = p_0;$$

$$D_1(b) = -p_0 + p_1;$$

$$D_2(b) = p_0 - 2p_1 + p_2;$$

$$D_3(b) = -p_0 + 3p_1 - 3p_2 + p_3.$$

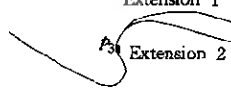
那么, 定理 1 可简单地描述为:  $b_1, b_2 \in B_1$ , 则  $b_2$  为  $b_1$  的正延伸的充要条件是: 存在  $k \in (0, 1]$ , 使得

$$D_0(b_2) = D_0(b_1), D_1(b_2) = \frac{1}{k} D_1(b_1), D_2(b_2) = \frac{1}{k^2} D_2(b_1), D_3(b_2) = \frac{1}{k^3} D_3(b_1).$$

**命题 2.1.** 若  $b_{k_1}, b_{k_2}, b \in B_1$ , 且  $b_{k_1}$  为  $b$  的  $k_1$  正向延展,  $b_{k_2}$  为  $b$  的  $k_2$  正向延展, 且  $k_1 > k_2$ , 则  $b_{k_2}$  为  $b_{k_1}$  的  $k_2/k_1$  正向延展(由定理 2.1, 易证).

命题 2.1 表明, Bézier 曲线段的延展方向是唯一的, 不会出现如图 1 所示的现象.

Extension 1



**定义 2.2.** 曲线段  $b^+ = \lim_{k \rightarrow 0} b_k^+$  (其中  $b_k^+$  为 Bézier 曲线段  $b$  的  $k$  正向延展) 称为  $b$  的完全正向延展曲线.

**推论 2.1.**  $b^+$  上的任一有限连续曲线段均为三次 Bézier 曲线.

对于上面的任一有限连续曲线段  $c$ , 取足够小的  $k$ , 使得  $c \subseteq b_k$ , 由于  $b_k$  为三次

Bézier 曲线, 故  $c$  亦为 Bézier 曲线..

**定义 2.3.** 若  $b_1, b_2 \in B_1$ , 且均为平面上某一完全正向延展曲线的一部分, 则称  $b_1, b_2$  为同胞. 同胞关系为等价关系, 由定义可知, 同胞关系满足反身性和对称性. 下面验证同胞关系的传递性.

图1

### 命题 2.2. 同胞关系为等价关系.

下面只需证明同胞关系满足递推性即可. 假设  $b_1, b_2$  为同胞,  $b_2, b_3$  为同胞. 由同胞关系的定义,  $b_1, b_2$  均在完全正向延伸曲线(设为  $C_1^+$ )上. 显然从  $b_1$  起点(或终点)开始的  $C_1^+$  正向部分即为  $b_1^+$ (如图 2 所示). 同理, 从  $b_2$  的起点(或终点)开始的  $C_1^+$  那部分曲线即为  $b_2^+$ , 由于  $b_1^+, b_2^+$  均为  $C_1^+$  的一部分, 且  $b_1^+, b_2^+$  均沿  $C_1^+$  无限延伸, 故我们有  $b_1^+ \subseteq b_2^+$  或  $b_2^+ \subseteq b_1^+$ . 对于  $b_2^+, b_3^+$ , 我们也有同样结果, 即  $b_2^+ \subseteq b_3^+$  或  $b_3^+ \subseteq b_2^+$ . 从而总共可能有下列 4 种情形:

(1)  $b_1^+ \subseteq b_2^+, b_2^+ \subseteq b_3^+$ , 则  $b_1^+ \subseteq b_2^+ \subseteq b_3^+, b_1^+ \subseteq b_3^+$ , 从而  $b_1, b_2$  均为  $b_3^+$  中的一部分,  $b_1, b_3$  为同胞.

(2)  $b_2^+ \subseteq b_1^+, b_3^+ \subseteq b_2^+$ , 则  $b_3^+ \subseteq b_1^+$ , 同(1), 我们有  $b_1, b_3$  为同胞.

(3)  $b_1^+ \subseteq b_2^+, b_3^+ \subseteq b_2^+$ , 则  $b_1^+, b_3^+$  均为  $b_2^+$  的一部分, 从而  $b_1, b_3$  均为  $b_2^+$  的一部分,  $b_1, b_3$  为同胞.

(4)  $b_2^+ \subseteq b_1^+, b_2^+ \subseteq b_3^+$ , 如果  $b_1^+ \subseteq b_3^+$ , 或  $b_3^+ \subseteq b_1^+$ , 则  $b_1, b_3$  为同胞, 下面证明必然有  $b_1^+ \subseteq b_3^+$  或  $b_3^+ \subseteq b_1^+$ . 假设  $b_1^+ \not\subseteq b_3^+$  且  $b_3^+ \not\subseteq b_1^+$ , 由于  $b_2^+$  为  $b_1^+$  与  $b_3^+$  的共同部分, 则记  $b_2 = b_2(p_0, p_1, p_2, p_3)$ , 记  $b_1^+$  的起点为  $p_{b_1}$ , 记  $b_3^+$  的起点为  $p_{b_3}$ , 如图 3 所示.

由此可知,  $\overline{p_3 p_{b_1}}$  为  $\overline{p_3 p_0}$  的正向延展,  $\overline{p_3 p_{b_3}}$  亦为  $\overline{p_3 p_0}$  的正向延展. 由命题 2.1 可知, 或者  $\overline{p_3 p_{b_1}}$  为  $\overline{p_3 p_{b_3}}$  的延展, 或者  $\overline{p_3 p_{b_3}}$  为  $\overline{p_3 p_{b_1}}$  的延展. 与所假设的  $b_1^+ \not\subseteq b_3^+$  且  $b_3^+ \not\subseteq b_1^+$  矛盾.  $\square$

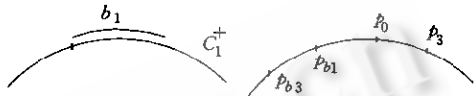


图2

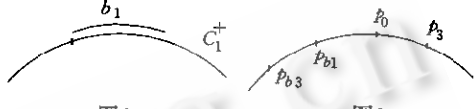


图3

## 3 第 1 类节点缩减算子及算法

### 3.1 第 1 类节点缩减算子 $N_1$ (精确节点缩减算子)

我们定义  $B_2$  上的第 1 类节点缩减算子  $N_1$  如下, 对  $B_2$  上的分段 Bézier 曲线  $(b_1, b_2)$ , 其中  $b_1, b_2 \in B_1$ ,

(1) 如果  $b_1, p_3 = b_2, p_0, b_1, b_2$  为同胞, 且  $b_1$  与  $b_2$  在点  $b_1, p_3$  的两侧, 则  $N(b_1, b_2) = \overline{b_1, p_0 b_2, p_3}$ , 其中 Bézier 曲线段  $\overline{b_1, p_0 b_2, p_3}$  为  $b_1^+$  上  $b_1, p_0$  至  $b_2, p_3$  的那一部分, 此时称  $(b_1, b_2)$  可  $N_1$  合并.

(2) 否则,  $N_1(b_1, b_2) = (b_1, b_2)$ .

### 3.2 基于结点缩减算子的 Bézier 曲线段简化算法

对属于  $B_k$  中的  $k$  段 Bézier 曲线  $(b_1, b_2, \dots, b_k)$ , 置  $Result \in B$  为空, 变量  $CurB$  为当前 Bézier 曲线段, 算法描述如下:

(1) 置  $CurB = b_1, i = 2$ .

(2) 如果  $i > k$ , 转(4).

(3) 将节点缩减算子  $N_1$  应用到  $(CurB, b_i)$  上.

(a) 如果  $N_1(CurB, b_i) = (CurB, b_i)$ , 则将 Bézier 曲线段  $CurB$  添加至  $Result$  中, 并置  $CurB = b_i, i++$ ; 转至(2).

(b) 否则,  $N_1(CurB, b_i)$  可约减为 Bézier 曲线段  $b$ , 则置  $CurB = b, i++$ ; 转(2).

(4) 结束,  $(b_1, b_2, \dots, b_k)$  的约简结果存储于  $Result$  中.

**定理 3.2.1.** 对任意  $b \in B_k$ , 经过上述算法简化后的分段 Bézier 曲线的节点数最少.

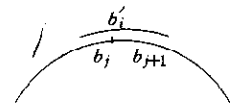


图4

证明:(反证法) 设  $Result(b_1, b_2, \dots, b_n)$  为上述算法所得结果, 如果存在另一种分段 Bézier 曲线表示  $(b'_1, b'_2, \dots, b'_k)$ , 其段数  $k < n$ .

由于  $Result(b_1, b_2, \dots, b_n)$  为上述算法的结果,  $b_i, b_{i+1}$  不可能成为某一 Bézier 曲线的相邻两段, 否则将会被算法第(3)步所合并.

由于  $k < n$ , 则至少有一段 Bézier 曲线  $b'(i \leq k)$  跨越了  $Result$  中的节点  $b_j$  的终点. 如图 4 所示, 我们有  $\overline{b'_i, p_0 b_j, p_3}$  与  $b_j$  为同胞,  $\overline{b'_i, p_0 b_j, p_3}$  为  $b'_i$  的同胞( $b'_i$  为  $\overline{b'_i, p_0 b_j, p_3}$  的延

展),  $b'_1$  与  $\overline{b_{j+1} \dots p_0 b' \dots p_3}$  为同胞,  $\overline{b_{j+1} \dots p_0 b' \dots p_3}$  与  $b_{j+1}$  为同胞.

从而由同胞关系的递推性可知,  $b_j$  与  $b_{j+1}$  为同胞, 且  $b_j, b_{j+1}$  在节点  $b_j, p_3$  的两侧, 故  $(b_j, b_{j+1})$  可被节点缩减算子约简, 与  $Result(b_1, \dots, b_n)$  为算法  $N_1$  的结果相矛盾.

由定理 3.2.1, 对任意分段 Bézier 曲线, 我们可以利用算法求得最简的分段表示.

### 3.3 $B_2$ 上的 $N_1$ 算子的具体实现

对  $B_2$  上的曲线段  $(b_1, b_2)$ , 设  $b_1(p_0, p_1, p_2, p_3), b_2(p_3, p_4, p_5, p_6)$ , 如果  $b_1, b_2$  可以  $N_1$  合并, 则由定义,  $p_6 \in b_1^+, \overline{p_0 p_6}$  为  $\overline{p_0 p_3}$  的正向延展.

设  $\overline{p_0 p_6}$  为  $\overline{p_0 p_3}$  的  $1/k$  正向延展, 则由定理 1 可知,  $k$  满足

$$(-p_0 + 3p_1 - 3p_2 + p_3) \cdot k^3 + (3p_0 - 6p_1 + 3p_2) \cdot k^2 + (-3p_0 + 3p_1) \cdot k + p_0 - p_6 = 0.$$

取方程的  $x$  方向投影, 由卡当公式可求得  $k$ . 验证上式的  $y$  方向投影, 若不满足方程, 则  $(b_1, b_2)$  不可  $N_1$  合并, 即  $N_1(b_1, b_2) = (b_1, b_2)$ . 若满足方程, 则表示  $p_6$  在  $\overline{p_0 p_3}$  的完全正向延展线  $b_1^+$  上, 求得  $b_1^+$  上 Bézier 曲线段  $\overline{p_3 p_6}$  的控制点  $p'_4, p'_5$ .

如果  $p_4 = p'_4, p_5 = p'_5$ , 则  $N_1(b_1, b_2) = \overline{p_3 p_6}$ . 否则,  $N_1(b_1, b_2) = (b_1, b_2)$ .

至此, 我们完整地给出了 Bézier 曲线的最优简化算法.

## 4 第 2、3 类节点缩减算子

在实际应用中, 节点缩减算子  $N_1$  有着很大的局限性, 我们需要引入带误差的节点缩减算子.

### 4.1 第 2 类节点缩减算子 $N_2^\delta$

对给定误差  $\delta > 0$ , 对于  $(b_1, b_2) \in B_2$ , 设  $b_1(p_0, p_1, p_2, p_3), b_2(p_3, p_4, p_5, p_6)$ , 由三次方程求出  $k$  值

$$\lfloor (-p_0 + 3p_1 - 3p_2 + p_3) \cdot k^3 + (3p_0 - 6p_1 + 3p_2) \cdot k^2 + (-3p_0 + 3p_1) \cdot k + p_0 - p_6 \rfloor_z = 0.$$

若  $k$  值之一满足:

$$\|(-p_0 + 3p_1 - 3p_2 + p_3) \cdot k^3 + (3p_0 - 6p_1 + 3p_2) \cdot k^2 + (-3p_0 + 3p_1) \cdot k + p_0 - p_6\| < \delta,$$

其中  $\|p\|$  表示点  $p$  到原点的距离, 且设  $b_1$  的  $k$  正向延展为  $b^+$ , 终点为  $p'_6$ , 曲线  $b^+$  的  $\overline{p_0 p'_6}$  部分(设为  $b$ )的控制点为  $p'_4, p'_5$ . 如果  $\|p_4 - p'_4\| < \delta, \|p_5 - p'_5\| < \delta$ , 则  $N_2^\delta(b_1, b_2) = b$ . 否则,  $N_2^\delta(b_1, b_2) = (b_1, b_2)$ .

第 2 类算子  $N_2^\delta$  可说是  $N_1$  的实际应用中的变体. 在实际应用中, 特别是对 Bézier 曲线的交互编辑中, 还需要保证在曲线光滑的情况下强行缩减节点. 对于此类要求, 我们给出了第 3 类节点缩减算子.

### 4.2 第 3 类节点缩减算子 $N_3$

对于  $(b_1, b_2) \in B_2$ , 我们定义算子  $N_3$ , 设  $b_1 = b_1(p_0, p_1, p_2, p_3), b_2 = b_2(p_3, p_4, p_5, p_6)$ .

(1) 若存在 Bézier 曲线段  $b$ , 且起点为  $p_0$ , 终点为  $p_6$ , 且与  $(b_1, b_2)$  在  $p_0, p_6$  处有相同的单位切矢与曲率, 则  $N_3(b_1, b_2) = b$ .

(2) 否则,  $N_3(b_1, b_2) = (b_1, b_2)$ .

下面讨论算子  $N_3$  的具体实现.

记  $C_1 = \frac{2}{3} (\overrightarrow{p_0 p_1} \times \overrightarrow{p_1 p_2}) / |\overrightarrow{p_0 p_1}|^3$  为  $b_1$  在起点  $p_0$  的曲率,  $C_2 = \frac{2}{3} (\overrightarrow{p_6 p_5} \times \overrightarrow{p_5 p_4}) / |\overrightarrow{p_6 p_5}|^3$  为  $b_2$  在终点  $p_6$  的曲率.

令向量  $\overrightarrow{D_1} = \frac{\overrightarrow{p_0 p_1}}{|\overrightarrow{p_0 p_1}|}, \overrightarrow{D_2} = \frac{\overrightarrow{p_6 p_5}}{|\overrightarrow{p_6 p_5}|}$ . 若存在  $b \in B_1$ , 使得  $N_3(b_1, b_2) = b$ , 则设  $b$  的两个控制点为  $p'_1, p'_2$ . 由  $N_3$  定义, 可假设

$$\begin{cases} p'_1 = p_0 + L_1 * \overrightarrow{D_1} & (L_1 \geq 0) \\ p'_2 = p_6 + L_2 * \overrightarrow{D_2} & (L_2 \geq 0) \end{cases} \quad (1)$$

由曲率相等, 我们有

$$\left\{ \begin{array}{l} \vec{D}_2 \times (\overrightarrow{p_0 p_3} + L_2 * \vec{D}_2) = \frac{3}{2} C_1 L_1^2 \\ \vec{D}_2 \times (\overrightarrow{p_3 p_1} + L_1 * \vec{D}_1) = \frac{3}{2} C_2 L_2^2 \end{array} \right. \quad (2)$$

此方程组可化为一个四次方程求解. 若存在正实根  $L_1 \geq 0, L_2 \geq 0$ , 则  $N_3(b_1, b_2) = b$  ( $b$  的控制点可由式(1)求得), 否则,  $N_3(b_1, b_2) = (b_1, b_2)$ .

将  $N_2^s$  或  $N_3$  替换算法  $N_1$ , 就得到了基于  $N_2^s$  或  $N_3$  的节点缩减算法.

## 5 结 论

针对实际应用中对分段 Bézier 化简的需要, 我们给出了 3 类 Bezier 曲线的节点缩减算子以及基于这 3 类算子的算法. 对于基于  $N_1$  算子的算法, 我们证明了经它化简后的分段 Bézier 曲线为最简的 Bézier 曲线表达, 为便于实用, 我们给出了  $N_1$  的修正算子  $N_2^s$  以及强行缩减算子  $N_3$ . 在实际应用中取得了很好的效果.

### 参考文献

- 1 Eck M. Least squares degree reduction of Bézier curves. Computer Aided Design, 1995, 27(11):845~851
- 2 唐荣锡, 汪嘉业, 彭群生. 计算机图形学教程. 北京: 科学出版社, 1994  
(Tang Rong-xi, Wang Jia-ye, Peng Qun-sheng. A Course on Computer Graphics. Beijing: Science Press, 1994)
- 3 孙家广, 杨长贵. 计算机图形学(第 2 版). 北京: 清华大学出版社, 1996  
(Sun Jia-guang, Yang Chang-gui. Computer Graphics (2nd ed.). Beijing: Tsinghua University Press, 1996)

## Three Kinds of Node-reduce Operator on 3rd Order Bézier Curve

CAO Feng ZHANG Ke-jun

(National Key Laboratory of Text Processing Institute of Computer Science and Technology  
Beijing University Beijing 100871)

**Abstract** The simplification of Bézier curves in fitting and editing is discussed, three kinds of node-reduce operators are defined, and the algorithms based on them are given in this paper. The simplest Bézier expression can be gotten through the algorithms, and a strict proof is given. These algorithms have been already used in the developing software.

**Key words** Bézier curve, extension of curves, node, node-reduce operator, simplest Bézier expression.